

Starkniederschlagshöhen und -spenden gemäß KOSTRA-DWD-2020

Rasterfeld 89155

(Zeile 89, Spalte 155)

Regenspende und Bemessungsniederschlagswerte in Abhängigkeit von Wiederkehrzeit T und Dauerstufe D

| Dauerstufe D | | Wiederkehrzeit T | | | | | | | | | | | | | | | | | |
|--------------|-----|------------------|------------|------|------------|------|------------|------|------------|------|------------|-------|------------|-------|------------|-------|------------|-------|------------|
| | | 1 a | | 2 a | | 3 a | | 5 a | | 10 a | | 20 a | | 30 a | | 50 a | | 100 a | |
| min | Std | mm | l / (s ha) | mm | l / (s ha) | mm | l / (s ha) | mm | l / (s ha) | mm | l / (s ha) | mm | l / (s ha) | mm | l / (s ha) | mm | l / (s ha) | mm | l / (s ha) |
| 5 | | 6,6 | 220,0 | 8,2 | 273,3 | 9,1 | 303,3 | 10,4 | 346,7 | 12,2 | 406,7 | 14,1 | 470,0 | 15,3 | 510,0 | 17,0 | 566,7 | 19,3 | 643,3 |
| 10 | | 8,4 | 140,0 | 10,3 | 171,7 | 11,6 | 193,3 | 13,2 | 220,0 | 15,5 | 258,3 | 17,8 | 296,7 | 19,4 | 323,3 | 21,4 | 356,7 | 24,4 | 406,7 |
| 15 | | 9,4 | 104,4 | 11,7 | 130,0 | 13,0 | 144,4 | 14,9 | 165,6 | 17,5 | 194,4 | 20,1 | 223,3 | 21,9 | 243,3 | 24,2 | 268,9 | 27,5 | 305,6 |
| 20 | | 10,2 | 85,0 | 12,7 | 105,8 | 14,1 | 117,5 | 16,1 | 134,2 | 18,9 | 157,5 | 21,8 | 181,7 | 23,8 | 198,3 | 26,3 | 219,2 | 29,8 | 248,3 |
| 30 | | 11,4 | 63,3 | 14,1 | 78,3 | 15,8 | 87,8 | 18,0 | 100,0 | 21,1 | 117,2 | 24,4 | 135,6 | 26,5 | 147,2 | 29,3 | 162,8 | 33,3 | 185,0 |
| 45 | | 12,7 | 47,0 | 15,7 | 58,1 | 17,5 | 64,8 | 20,0 | 74,1 | 23,5 | 87,0 | 27,1 | 100,4 | 29,4 | 108,9 | 32,5 | 120,4 | 37,0 | 137,0 |
| 60 | 1 | 13,7 | 38,1 | 16,9 | 46,9 | 18,9 | 52,5 | 21,5 | 59,7 | 25,2 | 70,0 | 29,1 | 80,8 | 31,7 | 88,1 | 35,0 | 97,2 | 39,8 | 110,6 |
| 90 | 1,5 | 15,1 | 28,0 | 18,7 | 34,6 | 20,9 | 38,7 | 23,8 | 44,1 | 27,9 | 51,7 | 32,2 | 59,6 | 35,1 | 65,0 | 38,7 | 71,7 | 44,0 | 81,5 |
| 120 | 2 | 16,2 | 22,5 | 20,0 | 27,8 | 22,4 | 31,1 | 25,5 | 35,4 | 30,0 | 41,7 | 34,6 | 48,1 | 37,6 | 52,2 | 41,6 | 57,8 | 47,3 | 65,7 |
| 180 | 3 | 17,9 | 16,6 | 22,1 | 20,5 | 24,7 | 22,9 | 28,2 | 26,1 | 33,1 | 30,6 | 38,2 | 35,4 | 41,5 | 38,4 | 45,9 | 42,5 | 52,2 | 48,3 |
| 240 | 4 | 19,2 | 13,3 | 23,7 | 16,5 | 26,5 | 18,4 | 30,2 | 21,0 | 35,5 | 24,7 | 41,0 | 28,5 | 44,5 | 30,9 | 49,2 | 34,2 | 55,9 | 38,8 |
| 360 | 6 | 21,2 | 9,8 | 26,2 | 12,1 | 29,3 | 13,6 | 33,3 | 15,4 | 39,2 | 18,1 | 45,2 | 20,9 | 49,1 | 22,7 | 54,3 | 25,1 | 61,7 | 28,6 |
| 540 | 9 | 23,3 | 7,2 | 28,8 | 8,9 | 32,2 | 9,9 | 36,7 | 11,3 | 43,2 | 13,3 | 49,8 | 15,4 | 54,2 | 16,7 | 59,9 | 18,5 | 68,0 | 21,0 |
| 720 | 12 | 25,0 | 5,8 | 30,9 | 7,2 | 34,6 | 8,0 | 39,3 | 9,1 | 46,2 | 10,7 | 53,4 | 12,4 | 58,0 | 13,4 | 64,1 | 14,8 | 72,9 | 16,9 |
| 1080 | 18 | 27,6 | 4,3 | 34,1 | 5,3 | 38,1 | 5,9 | 43,4 | 6,7 | 51,0 | 7,9 | 58,8 | 9,1 | 64,0 | 9,9 | 70,7 | 10,9 | 80,3 | 12,4 |
| 1440 | 24 | 29,5 | 3,4 | 36,5 | 4,2 | 40,8 | 4,7 | 46,5 | 5,4 | 54,6 | 6,3 | 63,0 | 7,3 | 68,5 | 7,9 | 75,7 | 8,8 | 86,1 | 10,0 |
| 2880 | 48 | 34,9 | 2,0 | 43,1 | 2,5 | 48,2 | 2,8 | 54,8 | 3,2 | 64,4 | 3,7 | 74,4 | 4,3 | 80,9 | 4,7 | 89,4 | 5,2 | 101,6 | 5,9 |
| 4320 | 72 | 38,4 | 1,5 | 47,5 | 1,8 | 53,0 | 2,0 | 60,4 | 2,3 | 71,0 | 2,7 | 81,9 | 3,2 | 89,1 | 3,4 | 98,5 | 3,8 | 111,9 | 4,3 |
| 5760 | 96 | 41,1 | 1,2 | 50,8 | 1,5 | 56,8 | 1,6 | 64,7 | 1,9 | 76,1 | 2,2 | 87,8 | 2,5 | 95,4 | 2,8 | 105,5 | 3,1 | 119,9 | 3,5 |
| 7200 | 120 | 43,4 | 1,0 | 53,6 | 1,2 | 59,9 | 1,4 | 68,2 | 1,6 | 80,2 | 1,9 | 92,6 | 2,1 | 100,6 | 2,3 | 111,2 | 2,6 | 126,4 | 2,9 |
| 8640 | 144 | 45,3 | 0,9 | 56,0 | 1,1 | 62,6 | 1,2 | 71,3 | 1,4 | 83,8 | 1,6 | 96,7 | 1,9 | 105,1 | 2,0 | 116,2 | 2,2 | 132,0 | 2,5 |
| 10080 | 168 | 47,0 | 0,8 | 58,1 | 1,0 | 64,9 | 1,1 | 74,0 | 1,2 | 86,9 | 1,4 | 100,3 | 1,7 | 109,1 | 1,8 | 120,5 | 2,0 | 137,0 | 2,3 |

Starkniederschlagshöhen und -spenden gemäß KOSTRA-DWD-2020

Rasterfeld 89155

(Zeile 89, Spalte 155)

Örtliche Unsicherheiten in Abhängigkeit von Wiederkehrzeit T und Dauerstufe D

| Dauerstufe D | | Wiederkehrzeit T | | | | | | | | |
|--------------|-----|------------------|-----|-----|-----|------|------|------|------|-------|
| | | 1 a | 2 a | 3 a | 5 a | 10 a | 20 a | 30 a | 50 a | 100 a |
| min | Std | ± % | ± % | ± % | ± % | ± % | ± % | ± % | ± % | ± % |
| 5 | | 12 | 12 | 13 | 14 | 15 | 15 | 16 | 16 | 17 |
| 10 | | 13 | 15 | 16 | 17 | 18 | 19 | 19 | 20 | 21 |
| 15 | | 14 | 16 | 17 | 18 | 20 | 21 | 21 | 22 | 23 |
| 20 | | 14 | 17 | 18 | 19 | 21 | 22 | 22 | 23 | 23 |
| 30 | | 15 | 17 | 18 | 20 | 21 | 22 | 23 | 23 | 24 |
| 45 | | 15 | 17 | 18 | 20 | 21 | 22 | 23 | 23 | 24 |
| 60 | 1 | 14 | 17 | 18 | 19 | 21 | 22 | 22 | 23 | 24 |
| 90 | 1,5 | 14 | 16 | 17 | 18 | 20 | 21 | 22 | 22 | 23 |
| 120 | 2 | 13 | 15 | 17 | 18 | 19 | 20 | 21 | 21 | 22 |
| 180 | 3 | 12 | 14 | 15 | 17 | 18 | 19 | 20 | 20 | 21 |
| 240 | 4 | 11 | 14 | 15 | 16 | 17 | 18 | 19 | 20 | 20 |
| 360 | 6 | 11 | 13 | 14 | 15 | 16 | 17 | 18 | 18 | 19 |
| 540 | 9 | 10 | 12 | 13 | 14 | 15 | 16 | 17 | 17 | 18 |
| 720 | 12 | 10 | 11 | 12 | 13 | 14 | 15 | 16 | 17 | 17 |
| 1080 | 18 | 10 | 11 | 12 | 13 | 14 | 15 | 15 | 16 | 16 |
| 1440 | 24 | 10 | 11 | 11 | 12 | 13 | 14 | 15 | 15 | 16 |
| 2880 | 48 | 12 | 11 | 12 | 12 | 13 | 13 | 14 | 14 | 15 |
| 4320 | 72 | 13 | 12 | 12 | 12 | 13 | 13 | 14 | 14 | 14 |
| 5760 | 96 | 14 | 13 | 13 | 13 | 13 | 13 | 14 | 14 | 14 |
| 7200 | 120 | 14 | 13 | 13 | 13 | 13 | 14 | 14 | 14 | 14 |
| 8640 | 144 | 15 | 14 | 14 | 14 | 14 | 14 | 14 | 14 | 14 |
| 10080 | 168 | 16 | 15 | 14 | 14 | 14 | 14 | 14 | 14 | 15 |

Parameter für abweichende T und D

Lokationsparameter ξ (Xi)

13,84831466

Skalenparameter α (Alpha)

4,53175117

Formparameter κ (Kappa)

-0,1

1. Koutsoyiannis-Parameter θ (Theta)

0,01743206

2. Koutsoyiannis-Parameter η (Eta)

0,76127233

Parameter für dauerstufenübergreifende Extremwertschätzung nach KOUTSOYIANNIS et al. 1998.

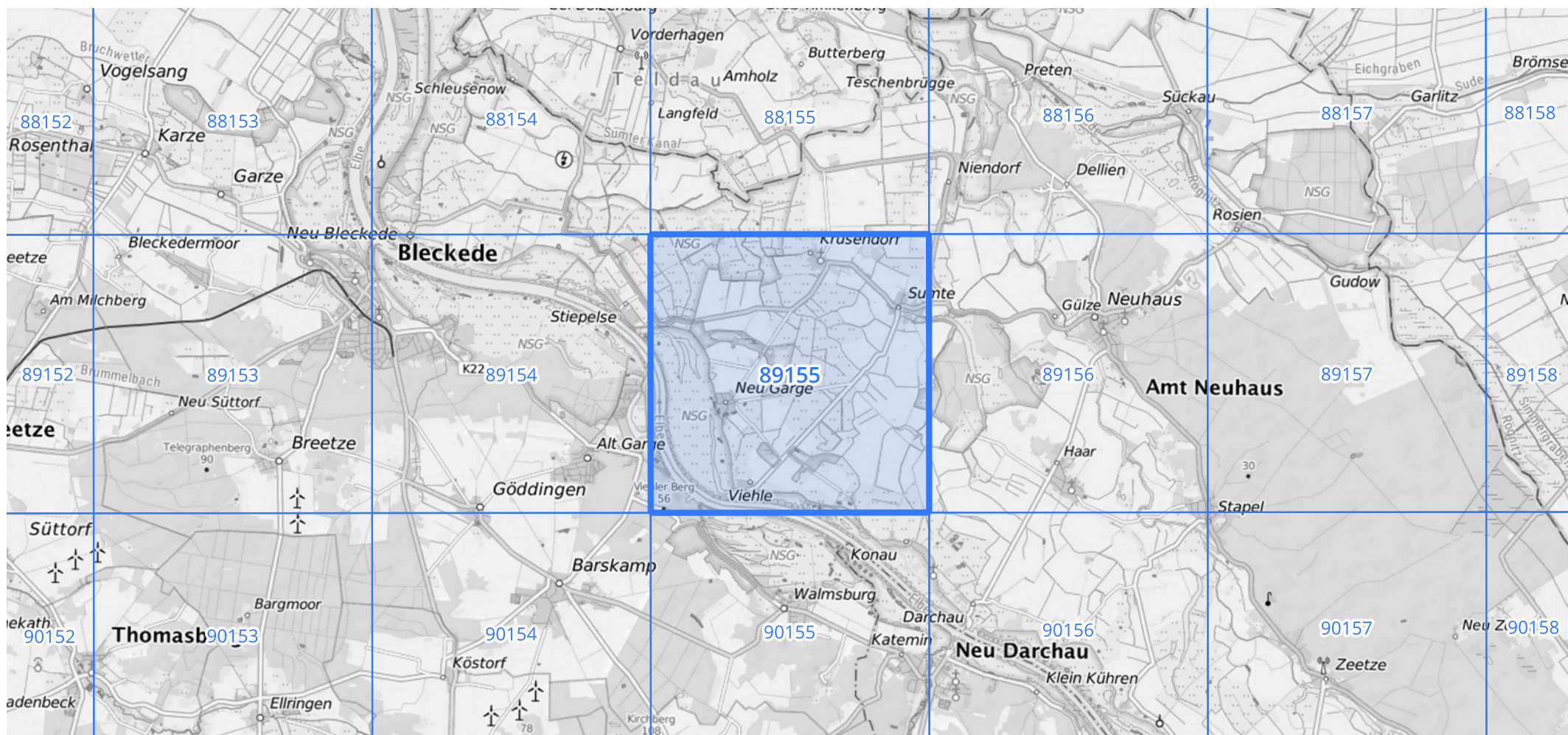
Siehe auch Anwendungshilfe zu KOSTRA-DWD-2020 des Deutschen Wetterdienstes.

Starkniederschlagshöhen und -spenden gemäß KOSTRA-DWD-2020

Rasterfeld 89155

(Zeile 89, Spalte 155)

Übersichtskarte des Rasterfeldes 89155, M 1 : 100 000



Quelle Rasterdaten: KOSTRA-DWD-2020 des Deutschen Wetterdienstes, Stand 12/2022.

Seite 3 von 3

Kartendarstellung: © Bundesamt für Kartographie und Geodäsie (2023), Datenquellen: https://sgx.geodatenzentrum.de/web_public/gdz/datenquellen/Datenquellen_TopPlusOpen.html

Für die Richtigkeit und Aktualität der Angaben wird keine Gewähr übernommen. Erstellt 01/2023.